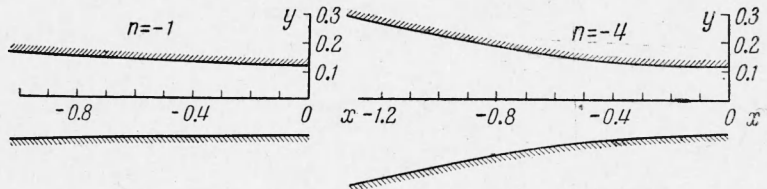


Для этих данных приводится также таблица координат профилей, которая



позволяет посредством (6), (7) найти контактные напряжения и скорости.

Поступила 5 VI 1962

ЛИТЕРАТУРА

- Фаддеева В. Н., Терентьев Н. М. Таблицы значений интеграла вероятностей от комплексного аргумента. Гостехиздат, 1954.
- Карпов К. А. Таблицы функций $w(z) = e^{-z^2} \int_0^z e^{x^2} dx$. Изд. АН СССР, 1958.
- Григорьев О. Д. К теории плоской деформации жестко-пластического тела. ПММ, 1961, т. 24, вып. 5.
- Григорьев О. Д. О некоторых классах плоского течения жестко-пластического тела. ПМТФ, 1961, № 6.

ПЛАСТИЧЕСКАЯ ДЕФОРМАЦИЯ ПРИ ФОРМОИЗМЕНЕНИИ ЛИСТА ПРИ ПОМОЩИ ВАЛКОВ

Б. А. Друянов

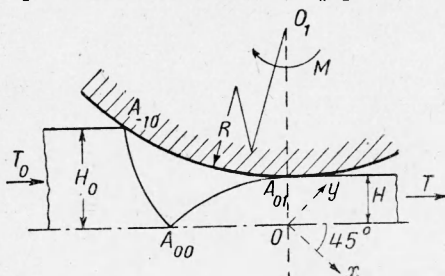
(Москва)

Процесс формоизменения листа при помощи шероховатых валков, частным случаем которого является прокатка, имеет определенное сходство с процессом сжатия листа шероховатыми плитами. Действительно, в обоих случаях касательные напряжения на линии контакта меняют знак, т. е. на линии контакта имеются зоны, где металл прилипает к инструменту и где скользит вдоль него. Однако если задача о сжатии листа неоднократно рассматривалась [1-3] и для нее в рамках теории плоского течения жестко идеально пластических тел построены решения, то для задачи о формоизменении листа при помощи валков такие решения отсутствуют. Это объясняется, конечно, кривизной контактной линии и невозможностью применения вследствие этого интегралов уравнений теории плоской деформации идеально пластических тел. Построение решений для задачи о формоизменении листа при помощи валков может быть выполнено применением метода решения статически непредельных задач [4].

Для задачи о сжатии листа наиболее простое решение получается в случае, когда толщина листа равна ширине плит. В этом случае пластические области состоят из двух жестких треугольников. В следующем пункте аналогичное решение строится для рассматриваемой задачи.

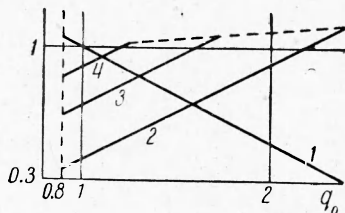
1. Пусть лист из идеально пластического материала деформируется, проходя через шероховатые валки (фиг. 1). Примем, что силы трения на линии контакта $A_{-10} A_{01}$ могут достигать величины k — предела текучести материала листа на сдвиг. На участке линии контакта, где это имеет место, материал листа может скользить вдоль линии контакта. На участке, где силы трения меньше k , имеет место прилипание.

Пусть пластическая область (фиг. 1) состоит из криволинейного треугольника $A_{-10} A_{01} A_{00}$. Предположим, что на всей дуге $A_{-10} A_{01}$ имеется прилипание, т. е. задана скорость. Для определения скоростей в области $A_{-10} A_{01} A_{00}$ следует решить задачу Ко-



Фиг. 1

ши. Так как уравнения Гейрингера допускают решение, соответствующее движению без деформации, то из единственности решения задачи Коши для уравнений Гейрингера следует, что пластическая область $A_{-10}A_{01}A_{00}$ вращается вокруг точки O_1 со скоростью валка, как твердое тело.



Фиг. 2. Зависимость усилий от q_0 . Линиям 1—4 соответствуют: 1 — $T/2kH$; 2, 3, 4 — $T_0/2kH_0$ при $\varepsilon = 0.10, 0.59, 0.70$

Линии скольжения $A_{-10}A_{00}$ и $A_{00}A_{01}$ являются линиями разрыва скоростей, их форма определяется из условия непрерывности на них нормальной скорости.

Обозначим через Ω и R угловую скорость и радиус валков, через v_0 и v — скорость полосы до и после деформации. Введем безразмерные величины

$$\begin{aligned}\varepsilon &= (H_0 - H) / H_0, & r &= R / H, & \omega &= \Omega H / v \\ \xi &= x / H, & \eta &= y / H\end{aligned}$$

Из условия несжимаемости следует, что $v_0/v = 1 - \varepsilon$.

Пусть φ — угол наклона линии $A_{00}A_{01}$. Условие непрерывности нормальной скорости на $A_{00}A_{01}$ приводит к системе уравнений

$$\xi \cos \varphi + \eta \sin \varphi = \left(1 + r - \frac{1}{\omega}\right) \sin\left(\varphi - \frac{1}{4}\pi\right), \quad d\eta = \tan \varphi d\xi \quad (1.1)$$

Решение этой системы имеет вид

$$\xi = -\left(1 + r - \frac{1}{\omega}\right) \frac{1}{\sqrt{2}} + C \sin \varphi, \quad \eta = \left(1 + r - \frac{1}{\omega}\right) \frac{1}{\sqrt{2}} - C \cos \varphi \quad (1.2)$$

Таким образом, $A_{00}A_{01}$ является дугой окружности с центром на прямой OO_1 . Эта окружность должна проходить через точку A_{01} и пересекать ось симметрии под углом 45° . Отсюда

$$C = \left(1 + r - \frac{1}{\omega}\right) \sqrt{2} = -\sqrt{2}(V^2 + 1) \quad (1.3)$$

Условие непрерывности нормальной скорости на $A_{-10}A_{00}$ приводит к уравнениям

$$\xi = -\left(1 + r - \frac{1-\varepsilon}{\omega}\right) \frac{1}{\sqrt{2}} + D \sin \psi, \quad \eta = \left(1 + r - \frac{1-\varepsilon}{\omega}\right) \frac{1}{\sqrt{2}} + D \cos \psi \quad (1.4)$$

Следовательно, $A_{-10}A_{00}$ также является окружностью с центром на OO_1 . Так как $A_{-10}A_{00}$ должна проходить через точку A_{00} ортогонально к $A_{00}A_{01}$, то

$$D = \left(1 + r - \frac{1-\varepsilon}{\omega}\right) \sqrt{2} = \sqrt{2}(V^2 + 1) \quad (1.5)$$

Из (1.3) и (1.5) следует, что

$$\omega = \varepsilon / 2(V^2 + 1), \quad r = \sqrt{2}(V^2 + 1)(V^2/\varepsilon - 1)$$

Рассмотрение деформации, которую испытывает элемент, пересекающий $A_{-10}A_{00}$, показывает, что эта линия скольжения относится к семейству α .

Вычисление сил, которые должны быть приложены к жестким частям верхней половины листа, чтобы обеспечить их равновесие, приводит к формулам

$$\begin{aligned}T/2kH &= \frac{\sqrt{2} + 1}{\sqrt{2}} \left(\frac{1}{2}\pi - \frac{1}{\sqrt{2}} \right) - \frac{1}{2}q_0 \\ T_0/2kH_0 &= \frac{\sqrt{2} + 1}{\sqrt{2}} (1 - \varepsilon) \left[\cos\left(\alpha_0 + \frac{1}{4}\pi\right) + 2\alpha_0 \sin\left(\alpha_0 + \frac{1}{4}\pi\right) - \frac{1}{\sqrt{2}} \right] + \frac{1}{2}q_0\end{aligned}$$

Здесь q_0 — значение $(\sigma_x + \sigma_y)/2k$ в точке A_{00} ; α_0 — значение ψ в точке A_{-10} .

Момент, который должен быть приложен к верхнему валку, равен

$$\begin{aligned}M/2kH^2 &= 1.90 + 5.84\alpha_0 - 4.12 [\cos(\alpha_0 + 0.25\pi) + 2\alpha_0 \sin(\alpha_0 + 0.25\pi)] + \\ &\quad + 1.71 [0.16 + \cos(\alpha_0 + 0.25\pi) + 2\alpha_0 \sin(\alpha_0 + 0.25\pi)] (1 + r) + \\ &\quad + q_0 1.71 \{(1 + r) [0.41 - \sin(\alpha_0 + 0.25\pi)] - 2.41 [1 - \sin(\alpha_0 + 0.25\pi)]\}\end{aligned}$$

Положительные направления T , T_0 и M показаны на фиг. 1.

Так как модуль среднего напряжения в поперечном сечении жесткой части листа не должен превышать $2k$, то должны выполняться неравенства $|T/2kH| \leq 1$, $|T_0/2kH_0| \leq 1$. Соответствующая область значений q_0 ограничена на фиг. 2 пунктирными линиями. Из фиг. 2 видно, что среди допустимых значений q_0 не существует такого, при котором T или T_0 равнялись бы нулю. С другой стороны, $M > 0$ при допустимых значениях q_0 . Таким образом, рассмотренная схема пластической деформации при прокатке невозможна.

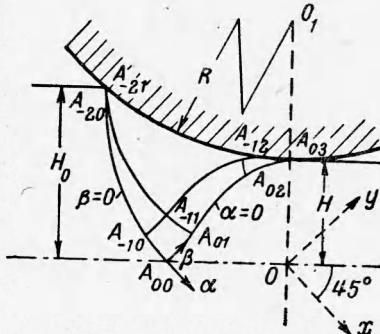
2. Рассмотрим более общий случай. Пусть жестко-пластическая граница состоит из линий скольжения $A_{-20}A_{00}$ и $A_{00}A_{03}$ (фиг. 3). Предполагая, что во всех пластических областях линии скольжения криволинейны, введем криволинейные координаты по формулам

$$\alpha = \frac{1}{2} \left[\frac{p_0}{2k} - \left(\frac{p}{2k} - \varphi \right) \right]$$

$$\beta = \frac{1}{2} \left[-\frac{p_0}{2k} + \left(\frac{p}{2k} + \varphi \right) \right]$$

Здесь

$$\varphi = \frac{1}{2} \operatorname{Arc-tg} \frac{\sigma_y - \sigma_x}{2\tau_{xy}}, \quad p = -\frac{\sigma_x + \sigma_y}{2}$$



Фиг. 3

Обозначим через v_α , v_β безразмерные проекции скорости на направлении α , β (за характерную скорость принята скорость листа после деформации). Эти величины удовлетворяют уравнению $\partial^2 f / \partial \alpha \partial \beta + j = 0$ и граничным условиям

$$\frac{\partial v_\alpha}{\partial \alpha} = (1 - \varepsilon) \cos \left(\alpha + \frac{1}{4} \pi \right), \quad \frac{\partial v_\beta}{\partial \alpha} = -(1 - \varepsilon) \sin \left(\alpha + \frac{1}{4} \pi \right) \quad \text{при } \beta = 0$$

$$\frac{\partial v_\alpha}{\partial \beta} = \cos \left(\beta + \frac{1}{4} \pi \right), \quad \frac{\partial v_\beta}{\partial \beta} = -\sin \left(\beta + \frac{1}{4} \pi \right) \quad \text{при } \alpha = 0$$

Пользуясь методом Римана, можно определить v_α , v_β во всей пластической области [5]

$$v_\alpha = \sin \left(\alpha + \beta + \frac{1}{4} \pi \right) - \varepsilon \int_0^\alpha J_0 [2 V(\alpha - \lambda) \beta] \cos \left(\lambda + \frac{1}{4} \pi \right) d\lambda \quad (2.1)$$

$$v_\beta = (1 - \varepsilon) \cos \left(\alpha + \beta + \frac{1}{4} \pi \right) - \varepsilon \int_0^\beta J_0 [2 V(\beta - \lambda)] \sin \left(\lambda + \frac{1}{4} \pi \right) d\lambda$$

Предположим, что на участке $A_{-21}A_{12}$ имеет место прилипание (фиг. 3). Тогда треугольник $A_{-21}A_{12}A_{11}$ вращается вокруг точки O_1 , как жесткое целое, со скоростью вала. Следовательно, можно определить v_α , v_β в этом треугольнике

$$v_\alpha = -\omega Y + \omega (1 + r) \sin \left(\varphi + \frac{1}{4} \pi \right), \quad v_\beta = \omega X + \omega (1 + r) \cos \left(\varphi + \frac{1}{4} \pi \right) \quad (2.2)$$

Здесь

$$X = \xi \cos \varphi + \eta \sin \varphi, \quad Y = -\xi \sin \varphi + \eta \cos \varphi$$

Сравнивая (2.1) и (2.2), получаем

$$X = -\left(1 + r - \frac{1 - \varepsilon}{\omega}\right) \cos \left(\alpha + \beta + \frac{1}{4} \pi \right) - \frac{\varepsilon}{\omega} \int_0^\beta J_0 [2 V(\beta - \lambda)] \sin \left(\lambda + \frac{1}{4} \pi \right) d\lambda$$

$$Y = \left(1 + r - \frac{1}{\omega}\right) \sin \left(\alpha + \beta + \frac{1}{4} \pi \right) + \frac{\varepsilon}{\omega} \int_0^\alpha J_0 [2 V(\alpha - \lambda) \beta] \cos \left(\lambda + \frac{1}{4} \pi \right) d\lambda$$

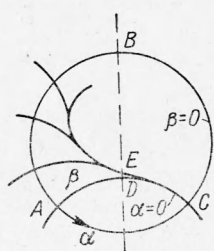
Эти формулы определяют сетку линий скольжения в области $A_{-21}A_{12}A_{11}$. Линии $\alpha = 0$ и $\beta = 0$ — сетки линий скольжения, определяемых формулами (2.3),

представляют собой окружности радиуса $\epsilon/\omega\sqrt{2}$ с центрами на прямой OO_1 (фиг. 3). Радиусы кривизны такой сетки в зависимости от α, β были найдены Хиллом [3]

$$\frac{R_1}{H} = \frac{\epsilon}{\omega\sqrt{2}} \left[J_0(2\sqrt{\alpha\beta}) + \frac{\sqrt{\alpha\beta}}{\alpha} J_1(2\sqrt{\alpha\beta}) \right]$$

Здесь R_1 — радиус кривизны линий скольжения α ; J_0 и J_1 — функции Бесселя первого рода нулевого и первого порядков.

Полагая $R_1 = 0$, получим уравнение огибающей линий скольжения β . На фиг. 4 показано расположение линий скольжения в области $ABCD$. Линия контакта $A_{-21}A_{03}$ может пересекать прямую OO_1 только выше точки D .



Фиг. 4. Огибающая линий β в поле линий скольжения, порождаемого двумя окружностями равного радиуса

Из рассмотрения поля линий скольжения в окрестности линии $\alpha = 0$ следует, что некоторая линия скольжения β должна касаться линии контакта слева от точки A_{03} . Эта точка является концом участка $A_{-21}A_{-12}$, где имеет место прилипание. На участке $A_{-12}A_{03}$ линии скольжения β касаются линии контакта (фиг. 3). Пластиические области для рассматриваемого случая показаны на фиг. 3.

Решение возможно, если точка A_{00} лежит на оси симметрии листа. Это условие приводит к уравнению, которое можно получить так же, как было получено аналогичное уравнение в задаче о волочении листа [5]. Это уравнение связывает r, ω и ϵ . Таким образом, в рассматриваемом случае, как и в предыдущем, остается один свободный параметр q_0 .

3. Интегралы, входящие в (2.1), можно разложить в ряды Неймана. Положим

$$f(\alpha, \beta) = \int_0^{\alpha} J_0(2\sqrt{(\alpha - \lambda)\beta}) \sin \lambda d\lambda$$

Применим преобразование Лапласа

$$F(p, \beta) = \int_0^{\infty} f(\alpha, \beta) e^{-p\alpha} d\alpha = \frac{e^{-\beta/p}}{p(p^2 + 1)}$$

По формуле обращения получим

$$f(\alpha, \beta) = \frac{1}{2\pi i} \int_{a-i\infty}^{a+i\infty} e^{\alpha z - \beta/z} \frac{dp}{p(p^2 + 1)}$$

Подынтегральная функция удовлетворяет условиям теоремы Жордана. Поэтому $f(\alpha, \beta)$ равна сумме вычетов подынтегральной функции

$$f(\alpha, \beta) = -\cos(\alpha + \beta) + \sum_{k=0}^{\infty} (-1)^k \left(\frac{\beta}{\alpha}\right)^k J_{2k}(2\sqrt{\alpha\beta})$$

Ряд, стоящий в правой части этого равенства, представляет собой частный случай функции Ломмеля двух аргументов [6].

Рассмотренный способ носит общий характер и позволяет получать решения краевых задач для телеграфного уравнения в рядах Неймана.

Поступила 4 VII 1962

ЛИТЕРАТУРА

- Прандтль Л. Примеры применения теоремы Генки к равновесию пластических тел. Теория пластичности. Сб. статей под ред. Ю. Н. Работнова. ИЛ, 1948.
- Соколовский В. В. Теория пластичности. ГИТТЛ, 1959.
- Хилл Р. Математическая теория пластичности. ГИТТЛ, 1956.
- Друянов Б. А. Метод решения статически неопределеных задач плоского течения идеально пластических тел. ДАН СССР, 1962, т. 143, № 4.
- Друянов Б. А. Волочение через криволинейную матрицу. ПМТФ, 1962, № 1.
- Ватсон Г. Н. Теория бесселевых функций. Ч. 1, ИЛ, 1949.